

FOTOS SEGOVIA (483=h 1819)-TODAS, SIN UBICACIÓN
EN FICHAS MCCI, NI EN
PLANO DE SITUACIÓN DE
MUESTRAS.

Fotos de Campo

Foto 1.- Cantera de calizas cristalinas en el polígono de Baterías de Segovia capital.

Foto 2.- Caliza cristalina bandeada, de carácter flogopítico. Arroyo Milón.

Foto 3.- Metasimientos pelíticos corneánicos (con nódulos cordieríticos). Arroyo Tejadilla.

Foto 4.- Metadioritas con Se y pliegues posteriores, intercalados entre ortoneises glandulares mesócratos. Ermita de Juarrillos de Hontoria.

Foto 5.- Bandas microgranudas oscuras entre ortoneises glandulares mesócratos milonitizados. Zona de El Calderón.

Foto 6.- Neises ultramiloníticos con glándulas residuales. Bandas de cizalla de Revenga.

Foto 7.- Bandas microgranudas en ortoneises glandulares mesócratos miloníticos plegados. Cantera de Horitoria.

Foto 8.- Aspecto de la lineación de estiramiento en los neises miloníticos de Peñacabra-Parrinoso

Foto 9.- Neises miloníticos con glándulas "redondeadas" y agregados granatíferos (extremo del rotulador). Zona de Peñalara.

Foto 10.- Pliegue de bandas microgranudas y leucosomas en ortoneis glandular milonitizado y mesócrato. Ermita de Juariilos de Hontoria.

Foto 11.- Aspecto lineal de una milonita glandular en el sector de Revenga.

Foto 12.- Microcrenulación de Fe en neis milonítico glandular de la zona de Revenga.

Foto 13.- Aspecto general de una blastomilonita glandular en la zona de Peñacitores (Peñalara).

Foto 14.- Banditas ultramiloníticas y agregados granatíferos en las milonitas glandulares de Peñalara.

Foto 15.- Neises glandulares milonitizados en las bandas de cizalla de Revenga. Ermita de Juarrillos en Hontoria.

Foto 16.- Contacto subhorizontal entre ortoneises glandulares mesócratos milonitizados (lámina alóctona) y tipos glandulares metagraníticos probablemente del autóctono (parte inferior). Los Claveles.

Foto 17.- Detalle del contacto anterior.

Foto 18.- Enclave microgranular en ortoneis glandular mesócrato del sector de Tizneros.

Foto 19.- Ortoneis glandular metagranítico.

Foto 20.- Banditas máficas microplegadas con ortoneis glandular

Foto 21.- Enclave microgranular en ortoneis glandular. Zona del Caserío de Santillana.

Foto 22.- Enclave calcosilicatado zonado en ortoneis glandular. Zona del Caserío de Santillana.

Foto 23.- Enclave bandeado metasedimentario en ortoneis glandular. Zona del Caserío de Santillana.

Foto 24.- Enclave leuconeísico en ortoneis glandular metagranítico del sector de Rascafria.

Foto 25.- Enclaves microgranulares en ortoneis glandular metagranítico del sector del Reventón.

Foto 26.- Ortoneis glandular metagranítico con microcizallas tardías con ligeros fenómenos de removilización anatéctica.

Foto 27.- Ortoneis glandular metagranítico del sector de Cerro Negro y Las Cabrerizas.

Foto 28.- Ortoneises metagraníticos heterogéneos, de glándula pequeña y muy dispersa, ligeramente migmatizado (estromatitas). Palazuelos de Eresma.

Foto 29.- Interbandeados entre leuconeises (metafilones?) y ortoneises glandulares, en el sector de Calderuelas.

Foto 30.- Nódulos granatíferos en leuconeises biotíticos con alguna microglándula en bandas. Fuente de los Pastores.

Foto 31.- Zona pegmatítica rica en granates en los leuconeises del Cambrones hacia Malagosto.

Foto 32.- Migmatita nebulítica con fragmentos xenolíticos de neis glandular y xenoglándulas dispersas. Zona de cabecera del Río Pirón.

- Foto 33.- Nebulita con nódulos cordieríticos y xenoglándulas dispersas y corroídas. Zona de cabeza del Río Pirón.
- Foto 34.- Agregados estictolíticos en vénulas tardías discordantes con la foliación del ortoneis glandular. Sector de Revenga.
- Foto 35.- Detalle de los nódulos cordieríticos típicos de estas migmatitas estictolíticas. Zona del Palacio de Santillana.
- Foto 36.- Leucogranito de Torrecaballeros. El baneado en parte es de origen tectónico (granitoide probablemente tardí- F_2) y también por la abundancia de segregaciones pegmatíticas.
- Foto 37.- Leucogranito de Torrecaballeros con nódulos granatíferos y ligero halo leucocrático.
- Foto 38.- Zonas nodulares en el leucogranito de Torrecaballeros.
- Foto 39.- Facies hololeucocrática porfídica en el leucogranito de Bernuy de Porreros.
- Foto 40.- Facies de grano medio homogénea del leucogranito de Bernuy de Porreros.
- Foto 41.- Diferenciado pegmatítico en el granito biotítico con enclaves microgranudos de Segovia capital.
- Foto 42.- Aspecto general del granito cordierítico de la zona de Canteras de Segovia.
- Foto 43.- Enclaves microgranulares (a veces dobles) en la adamellita porfídica de La Granja. También se observa ligero borde reaccional feldespático en el enclave de la derecha.
- Foto 44.- Aspecto algo suborientado de la adamellita porfídica de La Granja.
- Foto 45.- Aspecto general de la adamellita porfídica de La Granja.
- Foto 46.- Diques aplíticos intruyendo en ortoneises glandulares.
- Foto 47.- Diques aplíticos mayores que dan morfología de "serrotas" en el sector de Peñalara.
- Foto 48.- Micropliegues en chevron de probable F_2 en los ortoneises glandulares mesócratos de Revenga.
- Foto 49.- Idem en los ortoneises glandulares milonitizados de Peñalara.

Fotos de microscopio

Foto 50.- Mármol con clinohumita amarillenta, olivino forsterítico incoloro, espinela accesoria (débilmente verdosa) y micas pálidas flogopíticas. Lámina 9148 (NPx10).

Foto 51.- Skarnoide de cuarzo y clinopiroxeno de la serie diópsido-hedembergita. Lámina 9105 (NPx10).

Foto 52.- Aspecto general de un paraneis corneánico con nódulos cordieríticos que suelen englobar la mayoría de cristales de granate y sillimanita (junto a biotita, que está más en exceso) de la roca. Lámina 9120 (NPx10).

Foto 53.- Mismo paraneis corneánico con bandas ricas en feldespato potásico. Lámina 9120 (NPx10).

Foto 54.- Paraneis semipelítico rico en sillimanita asociada a biotita, alternando con bandas cuarcíferas. Lámina 9431 (NPx10).

Foto 55.- Morfología en atolón por alteración del granate a filosilicatos en un paraneis filonitizado. Lámina 9080 (NPx10).

Foto 56.- Metagabro-metadiorita coronítico de las bandas de cizalla de Revenga. Se observan diversas coronas piroxénicas y anfibólicas alrededor del ortopiroxeno rosado relicto. Lámina 9013 (NPx10).

Foto 57.- Aspecto del metagabro coronítico con ortopiroxenos y clinopiroxenos relictos. Lámina 9013 (NPx10).

Foto 58.- Metagabro coronítico con las típicas simplectitas de borde de plagioclasa-clinopiroxeno. También se observa neoformación de biotita y anfibol intersticiales. Lámina 9013 (NPx10).

Foto 59.- Textura intergranular palimséptica en enclave microgranular biotítico en ortoneis. Lámina 9034 (NPx10).

Foto 60.- Restos de zonado oscilatorio en microglándula de plagioclasa en simneusis. Ortoneis glandular mesócrato. Lámina 9022 (NCx10)

Foto 61.- Aspecto de un ortoneis glandular mesócrato con típicos prismas de sillimanita en plagioclasa (exfoluciones?) y cordierita pinnitizada aureolando a biotita. Lámina 9070 (NPx10).

Foto 62.- Ortoneis glandular mesócrato coneanizado en las proximidades del monzogranito con gabarras de Segovia capital. Lámina 9029 (NPx10).

Foto 63.- Leuconeis con segregaciones de sillimanita fibrolítica algo intersticiales. Lámina 9432 (NPx10).

Foto 64.- Leucogranito de Torrecaballeros con granate alotriomorfo alterado a biotita verdosa. Lámina 9005 (NPx10).

Foto 65.- Adamellitas recristalizadas de San Medel, con agregados lepido-nematoblásticos de biotita-andalucita, intergranulares. Lámina 9044 (NPx10).

Foto 66.- Bordes mirmequíticos ácidos entre plagioclasas zonadas y feldespatos potásicos más alotriomorfos y tardíos de la adamellita con gabarras de Segovia. Lámina 9435 (NCx10).

Foto 67.- Granito cordierítico (agregados clorítico-moscovíticos de pseudomorfosis) de la zona de las Canteras de Segovia. Lámina 9040 (NPx10).



1







12



13



14



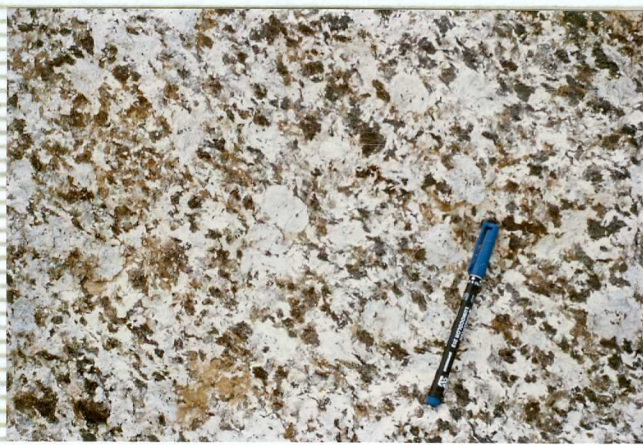
15





17







2



20



21





23



24













3



30



31



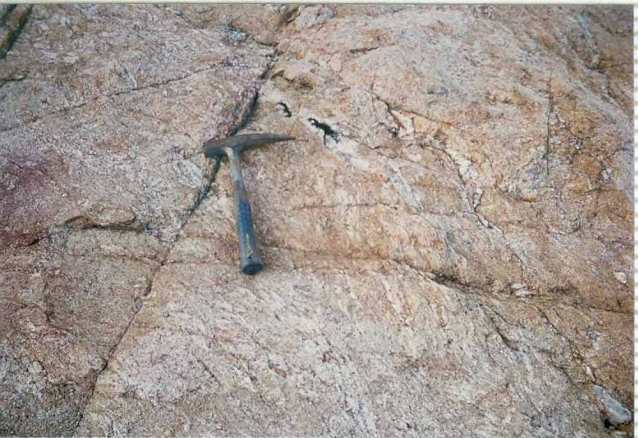




34



35





37



38



39



4



40



41



42



43

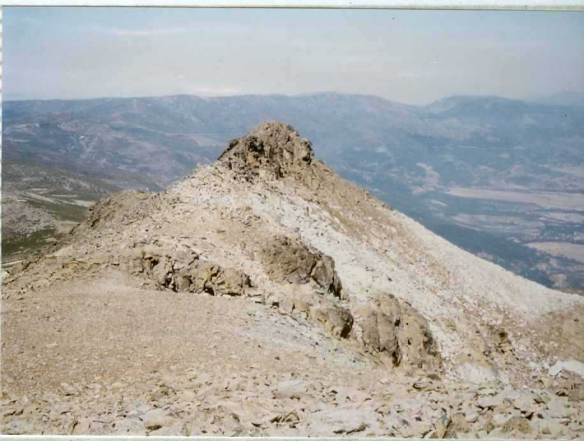


44



45





47



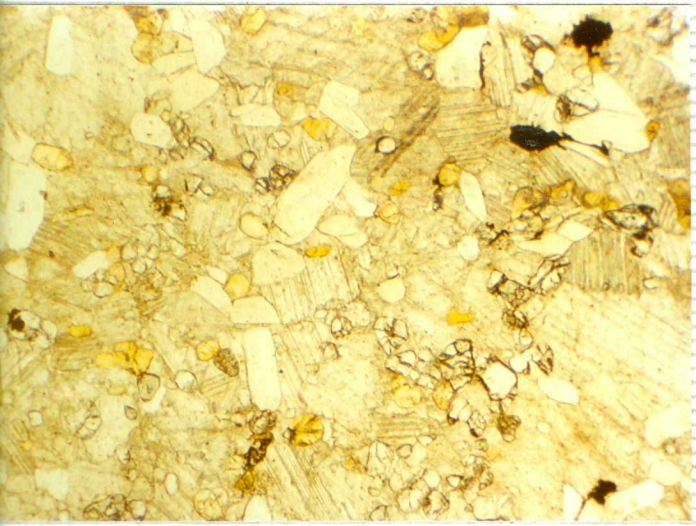
48

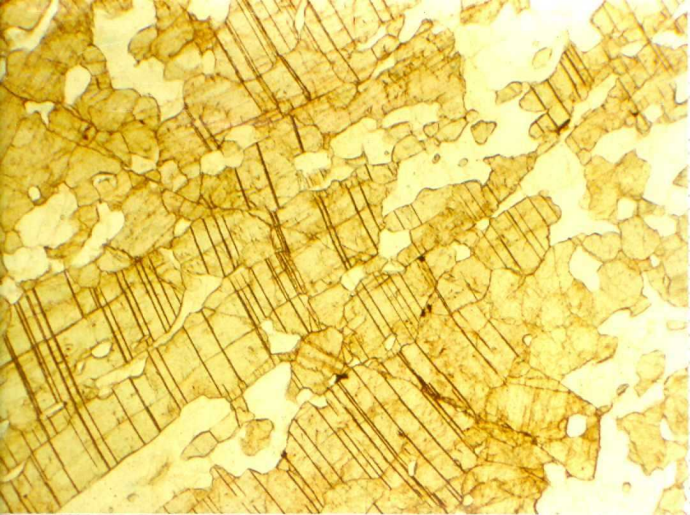


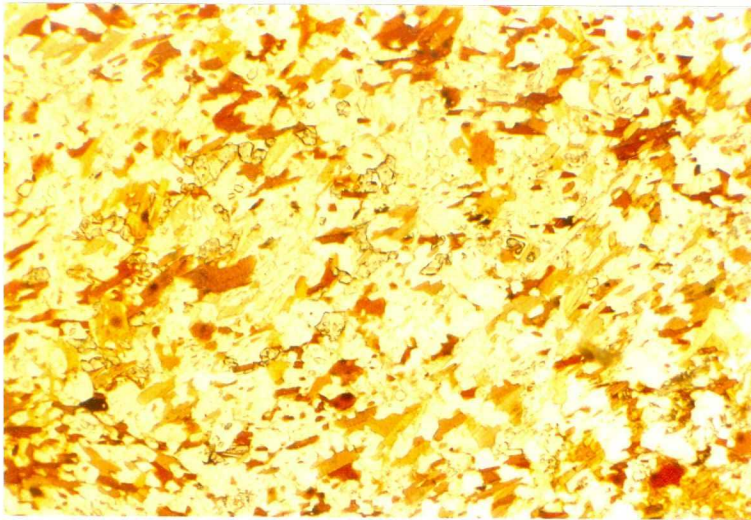
49



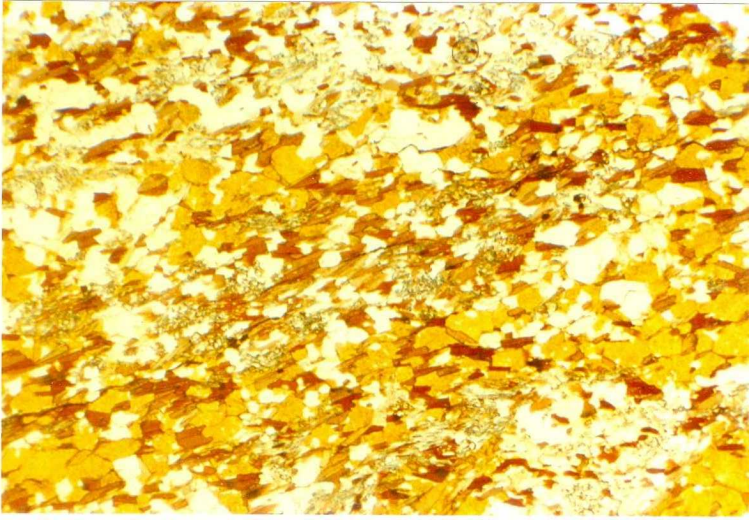
5

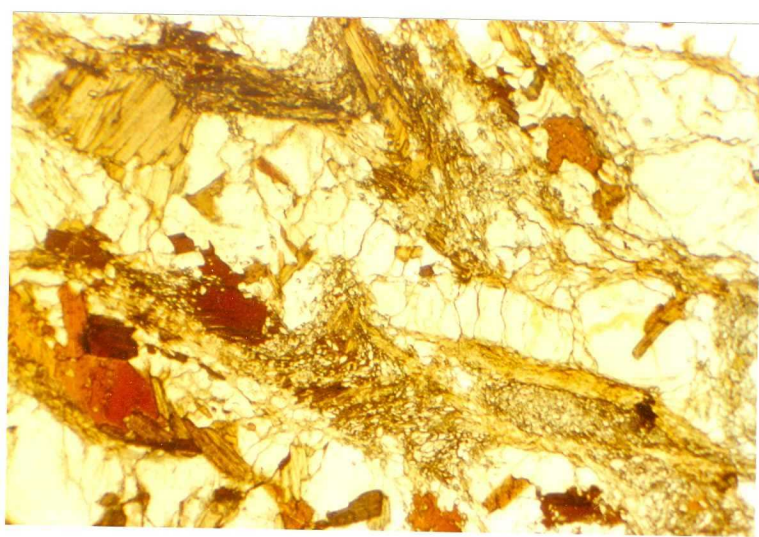


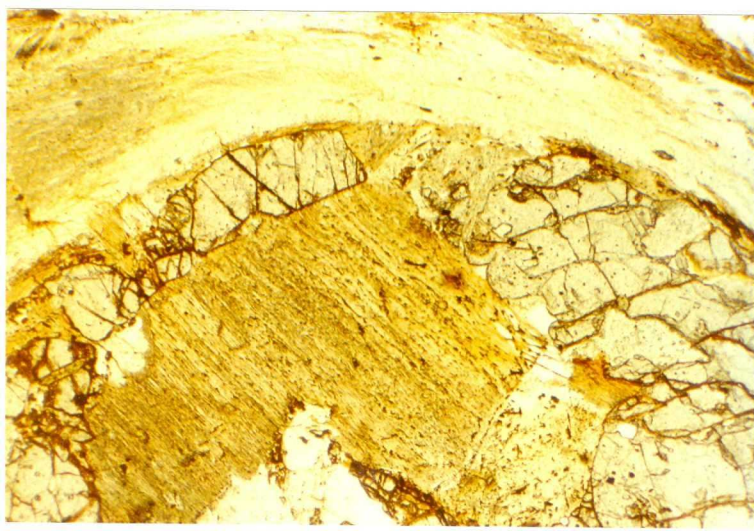




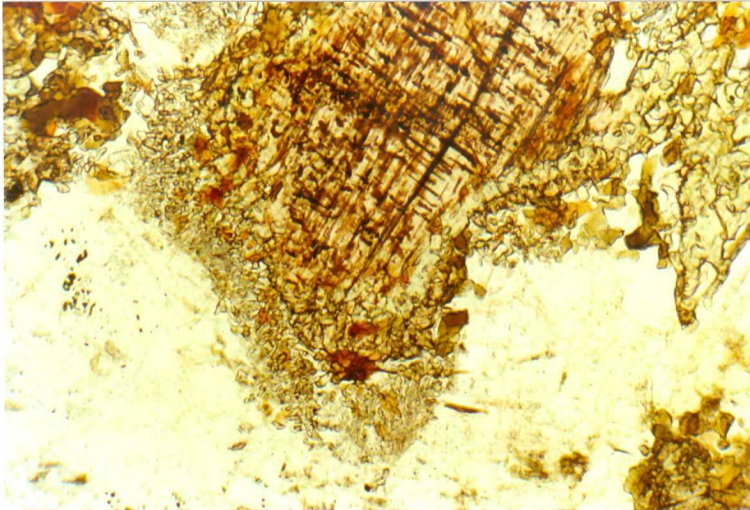
52

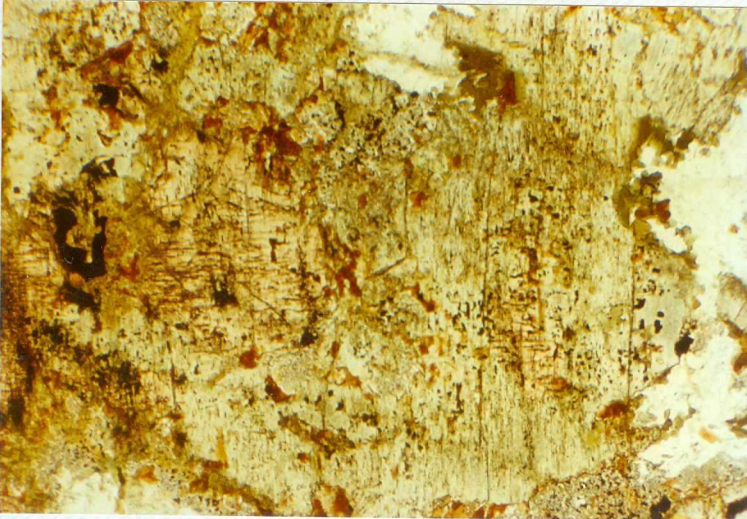


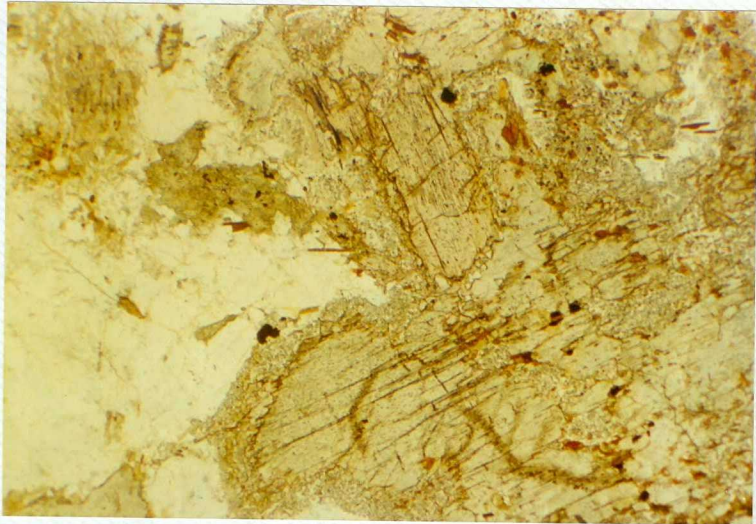


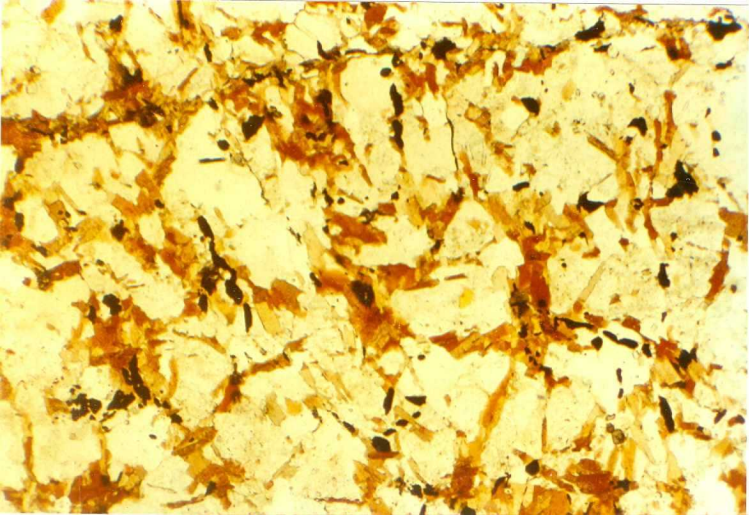


55



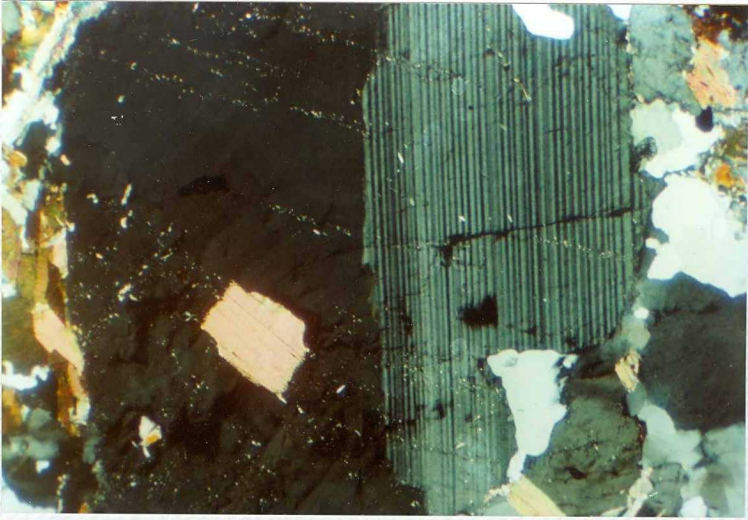


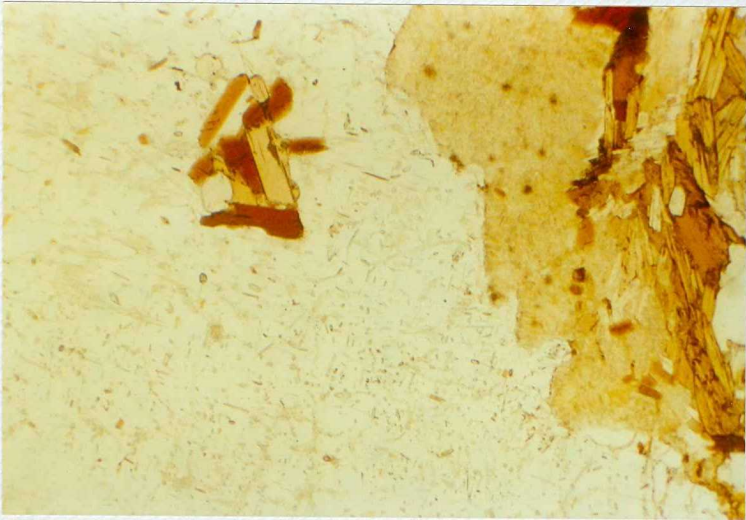


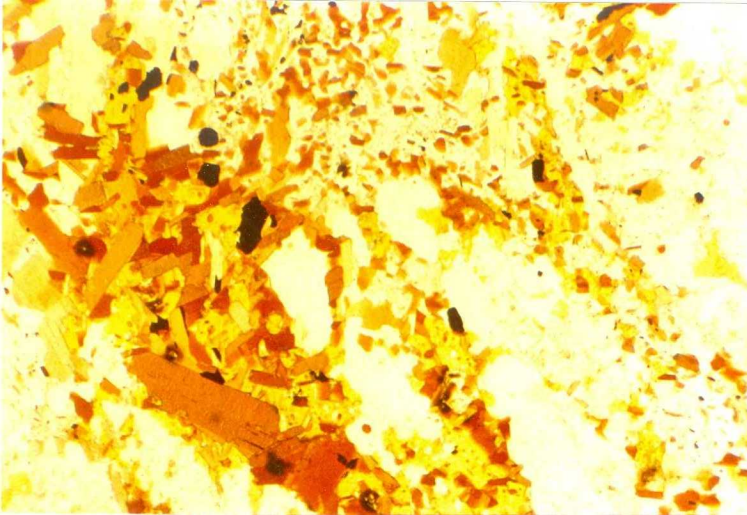


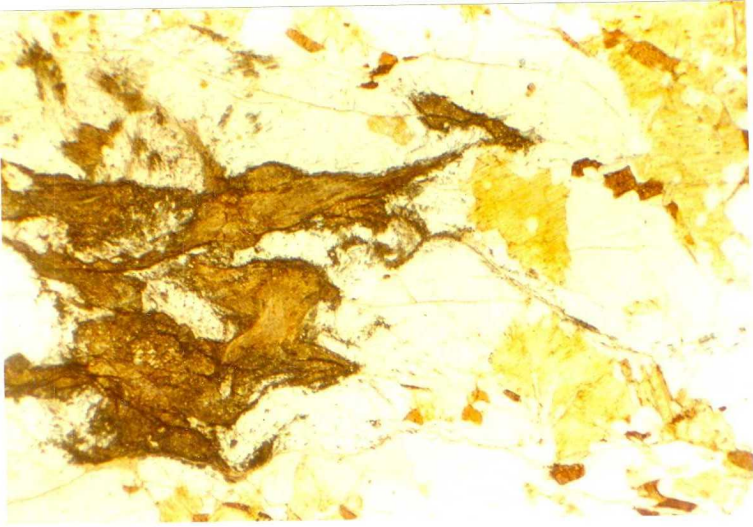


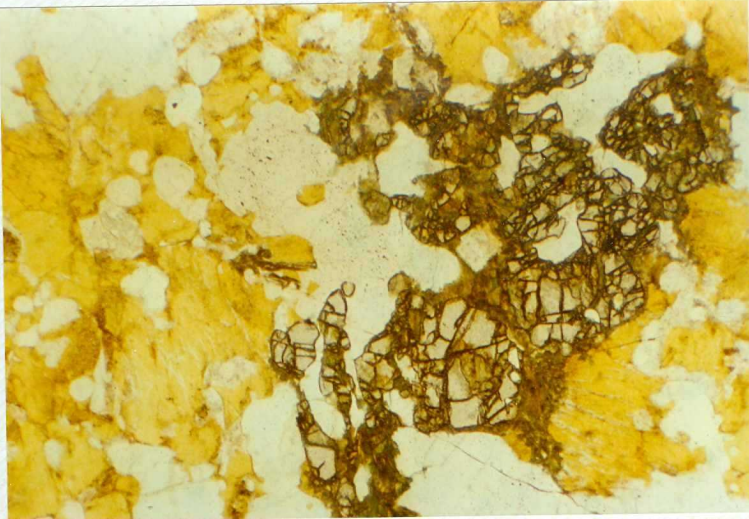
6

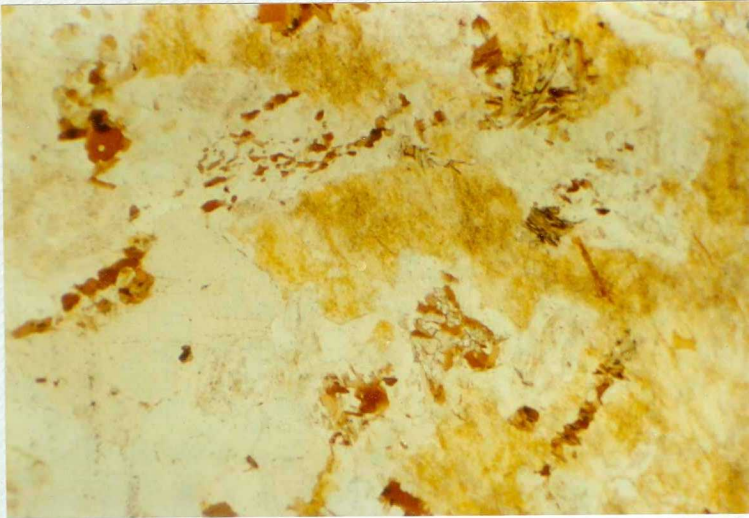










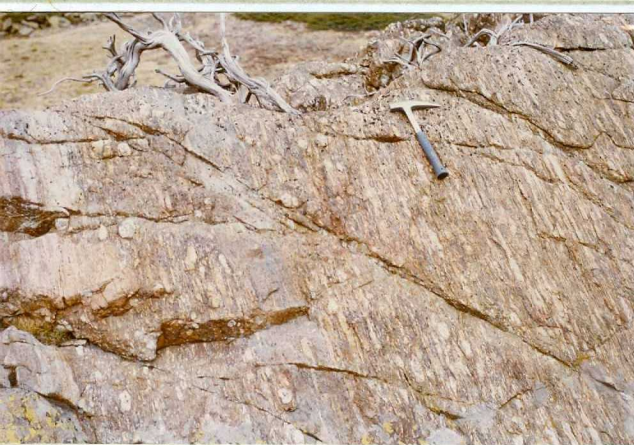


65











9